

УДК 546.92:547.442:548.737

**СВОЙСТВА И СТРУКТУРА НОВЫХ ЛЕТУЧИХ ФЕНИЛСОДЕРЖАЩИХ  
β-ДИКЕТОНАТОВ ТРИМЕТИЛПЛАТИНЫ(IV):  
 $(CH_3)_3Pt(btfa)H_2O$ ,  $(CH_3)_3Pt(bac)Py$  И ИСХОДНОГО КОМПЛЕКСА  $[(CH_3)_3PtI]_4$**

**Г.И. Жаркова, И.А. Байдина, А.И. Смоленцев, И.К. Игуменов**

Институт неорганической химии им. А.В. Николаева СО РАН, Новосибирск  
E-mail: zharkova@niic.nsc.ru

Статья поступила 10 октября 2012 г.

Взаимодействием иодида триметилплатины(IV) с фенилсодержащими β-дикетонами получены летучие мономерные комплексы триметилплатины(IV) на основе бензоилтрифторацетона ( $Hbtfa$ ) и бензоилацетона ( $Hbac$ ) состава  $(CH_3)_3Pt(btfa)H_2O$  (**I**) и  $(CH_3)_3Pt(bac)Py$  (**II**). В работе описан синтез комплексов, приведены данные элементного анализа, ИК спектров, исследованы термические характеристики методом ТГА. Впервые проведено рентгеноструктурное исследование комплексов (**I**), (**II**) и исходного тетramerного комплекса  $[(CH_3)_3PtI]_4$  (**III**).

**Ключевые слова:** β-дикетонаты триметилплатины(IV), синтез, структура, летучесть, термические свойства.

К числу известных летучих соединений Pt(IV), используемых в процессах МО CVD для получения платиновых покрытий методом химического осаждения из паровой фазы, можно отнести в первую очередь летучие комплексы платины(IV) с β-дикетонами [1—3]. Важные свойства этих соединений, такие как летучесть (заметное давление пара при относительно низких температурах), сравнительно высокая термическая стабильность в конденсированном и газообразном состояниях, позволяют использовать их в процессах CVD для получения металлических пленок платины различного функционального назначения (коррозионно-, эрозионно-, термо-, износостойкие, диэлектрические, сверхпроводящие, полупроводниковые, каталитические и др.).

Анализ литературных данных показал, что практически все летучие β-дикетонаты платины(IV) получают на основе производных триметилплатины(IV). В качестве исходного соединения наиболее часто используется металлоорганический комплекс  $[(CH_3)_3PtI]_4$ . Впервые иодид триметилплатины был получен в 1909 г. [4] при взаимодействии реактива Гриньяра с тетрахлоридом платины(IV) с выходом менее 20 %. Авторы выделили кристаллическое оранжевое вещество — иодистую триметилплатину  $(CH_3)_3PtI$ . В более поздних работах этот комплекс был получен из безводной соли  $K_2PtCl_6$  и  $CH_3MgI$  с выходом 55 % [5] и 80 % [6]. В этом соединении иод легко замещается на различные анионы, например  $Cl^-$ ,  $OH^-$ ,  $Br^-$ ,  $NO_3^-$ . Общими свойствами таких соединений являются высокая прочность связей платины с метильными группами, стабилизация степени окисления 4+, сохранение платиной координационного числа 6. Рентгеноструктурное исследование хлорида триметилплатины [7] и гидроксида триметилплатины [8] подтверждает их тетрамерное строение. Платина в этих соединениях имеет октаэдрическое окружение, атомы хлора или гидроксильные группы являются мостиковыми. Сведения о структурном исследовании чистого иодидного комплекса  $[(CH_3)_3PtI]_4$  в литературе отсутствуют,

лишь имеются работы по структурному исследованию сольватных комплексов иодида триметилплатины [ 9—11 ].

Триметилиодоплатина(IV) с  $\beta$ -дикетонами образует димерные комплексы общей формулы  $[\text{Me}_3\text{Pt}(\text{R}-\text{CO}-\text{CH}-\text{CO}-\text{R}')_2]$ , где R и R' — простой алкильный радикал от  $\text{CH}_3$  до  $\text{C}_5\text{H}_{11}$  [ 12, 13 ]. Димерное строение имеет также комплекс триметилплатины с бензоилацетоном  $[\text{Me}_3\text{Pt}(\text{bac})]_2$ , который ранее был впервые получен и исследован нами в работе [ 14 ]. В димерных хелатах триметилплатины  $\beta$ -дикетон выступает в роли тридентатного лиганда, где наряду с двумя донорными атомами кислорода имеется третий донор — средний атом углеродного кольца, образуется мостиковая связь  $\text{Pt}-\text{C}_\gamma$  и за счет этого формируется димер. Соединения такого типа из-за низкой летучести менее пригодны для практического использования в процессах CVD, чем  $\beta$ -дикетонаты триметилплатины мономерного строения. Повышению летучести комплексов способствует введение  $\text{CF}_3$ -групп в хелатный лиганд [ 15 ]. В литературе до наших исследований фторированные  $\beta$ -дикетонаты триметилплатины(IV) не были известны. Ранее нами было показано [ 14 ], что фторированные  $\beta$ -дикетоны не образуют димерных комплексов, а условием образования мономерного фторированного  $\beta$ -дикетоната триметилплатины является наличие в реакционной среде донорной молекулы, например  $\text{H}_2\text{O}$ , которая должна занять шестое координационное место платины в мономерном  $\beta$ -дикетонатном комплексе. По этой причине первоначально фторированные  $\beta$ -дикетонаты триметилплатины не были получены нами в безводных растворителях. Воду, входящую в состав фторированных аддуктов, легко можно заменить на более сильное основание, например пиридин. Более того, обработка димерных  $\beta$ -дикетонатов триметилплатины пиридином также приводит к разрыву мостиковой связи  $\text{Pt}-\text{C}_\gamma$  с образованием мономерных  $\beta$ -дикетонатных аддуктов триметилплатины, которые благодаря повышенным термическим свойствам могут быть наиболее перспективными прекурсорами в процессах CVD [ 16 ].

В настоящей работе нами получены и структурно исследованы мономерные фенилсодержащие  $\beta$ -дикетонаты триметилплатины(IV):  $[(\text{CH}_3)_3\text{Pt}(\text{C}_6\text{H}_5-\text{CO}-\text{CH}-\text{CO}-\text{CF}_3)\text{H}_2\text{O}]$  (I) и  $[(\text{CH}_3)_3\text{Pt}(\text{C}_6\text{H}_5-\text{CO}-\text{CH}-\text{CO}-\text{CH}_3)\text{Py}]$  (II), полученные на основе бензоилтрифторацетона (Hbtfa) и бензоилацетона (Hbac); описаны методы синтеза комплексов, приведены данные элементного анализа, ИК спектров, ТГА. Впервые проведено рентгеноструктурное исследование комплексов (I), (II) и исходного комплекса  $[(\text{CH}_3)_3\text{PtI}]_4$  (III). В базе структурных данных CSDB (Cambridge Structure Data Base) отсутствуют данные о структуре соединений (I—III).

## ЭКСПЕРИМЕНТАЛЬНАЯ ЧАСТЬ

В качестве исходного соединения для синтеза  $\beta$ -дикетонатов триметилплатины(IV) применяли иодид триметилплатины(IV) —  $[(\text{CH}_3)_3\text{PtI}]_4$ . За основу синтеза этого комплекса взята методика [ 5 ]. Нами были оптимизированы условия этого синтеза, что позволило увеличить выход комплекса  $[(\text{CH}_3)_2\text{PtI}]_4$  с 55 до 75 % [ 17 ].

**Синтез  $(\text{CH}_3)_3\text{Pt}(\text{C}_6\text{H}_5-\text{CO}-\text{CH}-\text{CO}-\text{CF}_3)\text{H}_2\text{O}$  (I).** Комплекс  $(\text{CH}_3)_3\text{PtI}$  (1 г, 2,8 ммоля) растворяли в 50 мл бензола. В полученный раствор оранжевого цвета добавляли 1,42 г (5,6 ммоля) калиевой соли бензоилтрифторацетона (Kbtfa) в 10 мл 96 % этилового спирта и присыпали соль  $\text{AgF}$  (0,35 г, 2,8 ммоля). Реакционную смесь перемешивали с помощью магнитной мешалки при 45—50 °C до обесцвечивания раствора и выпадения солей  $\text{AgI}$  и  $\text{KF}$ . Осадок отфильтровывали, раствор упаривали полностью. Сухой остаток экстрагировали гексаном. Продукт, выделенный из гексана, очищали сублимацией при пониженном давлении. Выход сублимированного комплекса 1,23 г (93 %). Кристаллы светло-желтого цвета,  $T_{\text{пл}} = 148$ —150 °C. Найдено, %: C 32,9, H 3,8, F 11,9. Для  $\text{C}_{13}\text{H}_{17}\text{F}_3\text{O}_3\text{Pt}$  вычислено, %: C 33,0, H 3,6, F 12,0.

ИК спектр (I) ( $\nu$ ,  $\text{cm}^{-1}$ ): 3627, 3308, 3189, 2963, 2899, 2813, 1608, 1542, 1530, 1490, 1457, 1429, 1285, 1257, 1196, 1183, 1131, 1053, 1023, 937, 807, 769, 722, 701, 654, 584, 533, 408.

**Синтез  $(\text{CH}_3)_3\text{Pt}(\text{C}_6\text{H}_5-\text{CO}-\text{CH}-\text{CO}-\text{CH}_3)\text{Py}$  (II).** Комплекс  $(\text{CH}_3)_3\text{PtI}$  (1 г, 2,8 ммоля) растворяли в 50 мл хлороформа, в раствор оранжевого цвета добавляли раствор 1,18 г (5,6 ммоля) калиевой соли бензоилацетона (Kbac) в 20 мл этилового спирта. Реакционную

смесь перемешивали при 40—50 °C до обесцвечивания раствора. Затем в раствор добавляли 5,6 ммоля пиридина (Py) и продолжали кипячение реакционной смеси в течение 1 ч. Далее растворитель и избыток пиридина упаривали на водяной бане при пониженном давлении. Сухой остаток экстрагировали гексаном. Продукт, выделенный из гексана, очищали сублимацией при пониженном давлении. Выход сублимированного комплекса 1,21 г (90 %). Кристаллы светло-желтого цвета,  $T_{\text{пл}} = 128$ —129 °C. Найдено, %: C 45,2, H 5,0, N 2,7. Для  $\text{C}_{18}\text{H}_{23}\text{NO}_2\text{Pt}$  вычислена, %: C 45,0, H 4,8, N 2,9.

ИК спектр (**II**) ( $\nu$ ,  $\text{cm}^{-1}$ ): 3066, 2951, 2890, 2813, 1592, 1560, 1506, 1483, 1446, 1391, 1274, 1207, 1109, 1067, 1014, 943, 849, 760, 714, 694, 608, 536, 452.

Таблица 1

*Кристаллографические данные и параметры рентгеноструктурного эксперимента для комплексов I, II, III*

Параметр	$(\text{CH}_3)_3\text{Pt(btfa)}\text{H}_2\text{O}$ <b>I</b>	$(\text{CH}_3)_3\text{Pt(bac)}\text{Py}$ <b>II</b>	$[(\text{CH}_3)_3\text{PtI}]_4$ <b>III</b>
Брутто-формула	$\text{C}_{13}\text{H}_{17}\text{F}_3\text{O}_3\text{Pt}$	$\text{C}_{18}\text{H}_{23}\text{NO}_2\text{Pt}$	$\text{C}_{12}\text{H}_{36}\text{I}_4\text{Pt}_4$
$M$	473,36	480,46	1468,37
$T$ , К	240(2)	296(2)	150(2)
Сингония	Триклинная	Моноклинная	Моноклинная
Пр. гр.	$P-1$	$P2_1/c$	$C2/m$
$a$ , Å	6,1653(5)	6,802(2)	14,1157(4)
$b$ , Å	9,9412(7)	16,077(6)	14,3600(4)
$c$ , Å	12,3913(10)	16,288(6)	13,0516(3)
$\alpha$ , град.	101,075(4)		
$\beta$ , град.	91,353(5)	94,822(10)	95,2770(10)
$\gamma$ , град.	99,535(4)		
$V$ , Å <sup>3</sup>	733,82(10)	1774,9(11)	2634,37(12)
$Z$	4	4	4
$\rho_{(\text{выч.})}$ , г/см <sup>3</sup>	2,142	1,798	3,702
$\mu_{\text{Mo}}$ , мм <sup>-1</sup>	9,597	7,912	25,855
$F(000)$	448	928	2528
Размер кристалла, мм	—	0,28×0,12×0,07	0,18×0,18×0,08
Область съемки $\theta$ , град.	1,68—28,30	2,51—30,53,	2,48—27,53
Диапазон $h$ , $k$ , $l$	$-8 \leq h \leq 8$ , $-13 \leq k \leq 10$ , $-16 \leq l \leq 16$	$-8 \leq h \leq 8$ , $-22 \leq k \leq 22$ , $-23 \leq l \leq 23$	$-18 \leq h \leq 18$ , $-18 \leq k \leq 18$ , $-12 \leq l \leq 16$
$I_{hkl}$ измеренных	7535	15434	5169
$I_{hkl}$ независимых	3469 ( $R(\text{int}) = 0,0367$ )	5034 ( $R(\text{int}) = 0,0526$ )	3140 ( $R(\text{int}) = 0,0168$ )
Сбор данных по $\theta = 25,0^\circ$ , %	95,9	94,2	99,9
Макс. и мин. пропускание	0,9101 и 0,4470	0,6074 и 0,2154	0,2315 и 0,0898
GOOF для $F_{hkl}^2$	1,100	1,041	1,027
$R$ -фактор [ $I > 2\sigma(I)$ ]	$R_1 = 0,0732$ , $wR_2 = 0,2139$	$R_1 = 0,0479$ , $wR_2 = 0,1019$	$R_1 = 0,0197$ , $wR_2 = 0,0414$
$R$ -фактор (все отражения)	$R_1 = 0,0822$ , $wR_2 = 0,2184$	$R_1 = 0,0982$ , $wR_2 = 0,1172$	$R_1 = 0,0237$ , $wR_2 = 0,0424$
Остаточная электронная плотность (max/min), е/Å <sup>3</sup>	6,940 / -3,025	3,120 / -1,895	1,117 / -1,048

**ИК спектры** комплексов **I** и **II** в области 400—4000  $\text{cm}^{-1}$  регистрировали на спектрометре Scimitar FTS-2000 (таблетки с KBr).

**Термическое исследование** комплексов проводили методом термогравиметрии на приборе NETZSCH TG 209 F1 в одинаковых условиях: температурный интервал 20—350 °C, скорость нагрева 10 град./мин, ток газа 30 мл/мин, навеска 5—6 мг, тигель стандартный открытый.

**РСА.** Параметры элементарных ячеек и экспериментальные интенсивности для расшифровки кристаллических структур комплексов **I**—**III** были измерены на автоматическом четырехкружном дифрактометре Bruker-Nonius X8 Apex (двухкоординатный CCD-детектор, MoK $\alpha$ -излучение,  $\lambda = 0,71073 \text{ \AA}$ , графитовый монохроматор). Структуры комплексов решены прямым методом и уточнены в анизотропном приближении. Атомы водорода заданы геометрически и включены в уточнение в изотропном приближении совместно с неводородными атомами. Кристаллографические характеристики и параметры эксперимента приведены в табл. 1. Основные геометрические характеристики комплексов (межатомные расстояния и валентные углы) приведены в табл. 2 и 3. Все расчеты выполнены по комплексу программ SHELX-97 (Bruker AXS Inc, 2004) [18]. Дифрактограммы изученных соединений полностью проиндексированы по результатам исследования монокристаллов.

Координаты атомов и другие параметры комплексов депонированы в Кембриджском банке структурных данных: № 904019 для **I**, № 903820 для **II**, № 815841 для **III**; см. deposit@ccde.cam.ac.uk.

Таблица 2

*Основные геометрические характеристики исследованных комплексов  
(межатомные расстояния  $d$ , Å и углы  $\omega$ , град.)*

Параметр	$(\text{CH}_3)_3\text{Pt(btfa)H}_2\text{O}$ <b>I</b>	$(\text{CH}_3)_3\text{Pt(bac)Py}$ <b>II</b>
Pt—CH <sub>3</sub>	2,000—2,009 ⟨2,003⟩	2,028—2,042 ⟨2,035⟩
Pt—O <sub>L</sub>	2,171 (Ph), 1,23(CF <sub>3</sub> )	2,152 (CH <sub>3</sub> ), 2,132 (Ph)
Pt—O <sub>w</sub>	2,247	—
Pt—N	—	2,183
O—C	1,28 (Ph), 1,27 (CF <sub>3</sub> )	⟨1,264⟩
C—C $\gamma$	1,42 (Ph), 1,37 (CF <sub>3</sub> )	⟨1,392⟩
C—C <sub>Me</sub>	1,47 (Ph), 1,53 (CF <sub>3</sub> )	1,528 (CH <sub>3</sub> ), 1,493 (Ph)
C—F	⟨1,32⟩	—
C—C	1,30—1,40 ⟨1,37⟩	1,368—1,393 ⟨1,376⟩
O—Pt—O	⟨87,3⟩	⟨89,1⟩

Таблица 3

*Основные межатомные расстояния  $d$ , Å и углы  $\omega$ , град. для  $[(\text{CH}_3)_3\text{PtI}]_4$*

Расстояние	$d$	Расстояние	$d$	Угол	$\omega$
Pt(1)—C(13)	2,086(6)	Pt(1)—I(1)	2,7836(3)	C—Pt—C	86,5(2)—89,1(2)
Pt(1)—C(12)	2,087(5)	Pt(1)—I(3)	2,8241(4)	C—Pt—I	91,7(2)—94,2(2)
Pt(1)—C(11)	2,094(5)	Pt(1)—I(2)	2,8287(3)	I—Pt—I	85,78(1)—87,26(1)
Pt(2)—C(22)	2,072(8)	Pt(2)—I(1)	2,8121(5)	Pt—I—Pt	92,52(1)—95,15(1)
Pt(2)—C(21)	2,097(5)	Pt(2)—I(3)	2,8255(3)		
Pt(3)—C(31)	2,057(5)	Pt(3)—I(2)	2,8004(5)		
Pt(3)—C(32)	2,107(7)	Pt(3)—I(3)	2,8279(3)		

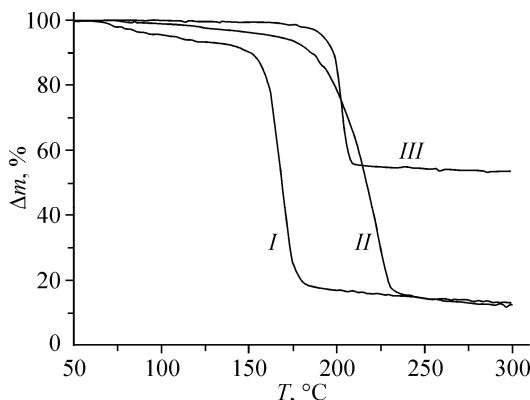


Рис. 1. Термогравиметрические кривые комплексов:  
 $(\text{CH}_3)_3\text{Pt(btfa)}\text{H}_2\text{O}$  (I),  $(\text{CH}_3)_3\text{Pt(bac)}\text{Py}$  (II),  
 $[(\text{CH}_3)_3\text{Pt(bac)}]_2$  (III)

## РЕЗУЛЬТАТЫ И ИХ ОБСУЖДЕНИЕ

Синтезированные мономерные  $\beta$ -дикетоны триметилплатины (IV) на основе фенилсодержащих  $\beta$ -дикетонов представляют собой кристаллические вещества, они устойчивы при хранении в обычных условиях, сохраняют свой состав при многократной сублимации в вакууме, хорошо растворяются в обычных органических растворителях.

**ИК спектры** соединений I и II подтверждают хелатный тип связи атома платины с  $\beta$ -дикетоном. Валентные колебания (C—H) и (Pt—CH<sub>3</sub>) наблюдаются в области 3000—2800  $\text{cm}^{-1}$ . Характерные колебания C—O и C=C хелатного кольца проявляются в области 1610—1450  $\text{cm}^{-1}$ . К колебанию связей Pt—C относятся менее интенсивные полосы в области 500—600  $\text{cm}^{-1}$  [19]. Наличие воды в комплексе I подтверждает сильная полоса поглощения валентных колебаний O—H групп в области 3627  $\text{cm}^{-1}$  и широкая полоса водородной связи в виде дублета (3308 и 3187  $\text{cm}^{-1}$ ). Слабую полосу поглощения при 3067  $\text{cm}^{-1}$  для комплекса II мы относим к валентным колебаниям (=C—H) пиридина, согласно [20].

**Термическое исследование** комплексов проведено методом термогравиметрии. Кривые ТГ для  $(\text{CH}_3)_3\text{Pt(btfa)}\text{H}_2\text{O}$  и  $(\text{CH}_3)_3\text{Pt(bac)}\text{Py}$  приведены на рис. 1. Для сравнения термических свойств  $\beta$ -дикетонов триметилплатины мономерного и димерного строения на рисунке приведена также кривая ТГ димерного комплекса триметилплатины с бензоилацетоном —  $[(\text{CH}_3)_3\text{Pt(bac)}]_2$ , полученная в тех же условиях съемки. Анализ кривых ТГ показал, что изучаемые мономерные  $\beta$ -дикетоны триметилплатины обладают высокой летучестью, потеря массы комплексов за счет сублимации начинается при низких температурах (~50—100 °C), хотя в условиях съемки процессы сублимации проходили на фоне их небольшого разложения. По сравнению с мономерными комплексами димерный комплекс  $[(\text{CH}_3)_3\text{Pt(bac)}]_2$  (см. рис. 1, кривая III) в наших условиях не сублинировался при нагревании до 200 °C, дальнейший нагрев приводит к его плавлению с разложением в одну стадию. Проведенное ТГ — исследование показало, что пониженная термическая устойчивость мономерных аддуктов триметилплатины компенсируется их высокой летучестью в отличие от бензоилацетоната триметилплатины(IV) димерного строения, где эти свойства имеют обратную зависимость. По своим термическим характеристикам мономерные  $\beta$ -дикетоны триметилплатины на основе фенилсодержащих лигандов могут быть успешно использованы в качестве прекурсора в процессах CVD, так же как и другие  $\beta$ -дикетоны триметилплатины мономерного строения, впервые полученные и изученные нами ранее [16, 17].

**Описание кристаллических структур.** Соединения I и II кристаллизуются из бензола в виде призм моноклинной сингонии, слабо окрашены в желтый цвет. Монокристаллы комплекса  $[(\text{CH}_3)_3\text{Pt}]_4$  вырастили из раствора соединения в гексане при комнатной температуре. Кристаллы представляют собой уплощенные призмы, окрашенные в оранжевый цвет.

Структура I молекулярного типа, построена из нейтральных комплексов  $(\text{CH}_3)_3\text{Pt(btfa)}\text{H}_2\text{O}$ , строение комплекса показано на рис. 2, a. Октаэдрическая координация платины ( $\text{PtC}_3\text{O}_3$ ) образована тремя атомами углерода метильных групп, двумя атомами кислорода фторированного  $\beta$ -дикетонатного лиганда и атомом кислорода молекулы воды. Отклонения валентных *цис*-углов от идеальных 90° на центральных атомах Pt не превышают 5°. Среднее значение длин связей Pt—CH<sub>3</sub> составляет 2,003 Å. Расстояния Pt—O<sub>cp</sub> и Pt—O<sub>w</sub> равны 2,150 и 2,247 Å соответственно, хелатный валентный угол O—Pt—O в металлоцикле равен 87,3°. В  $\beta$ -дикетонатном лиганде связи O—C практически одинаковы (1,27 Å), разница в длинах связей C—C<sub>γ</sub>, C—C<sub>Me</sub>

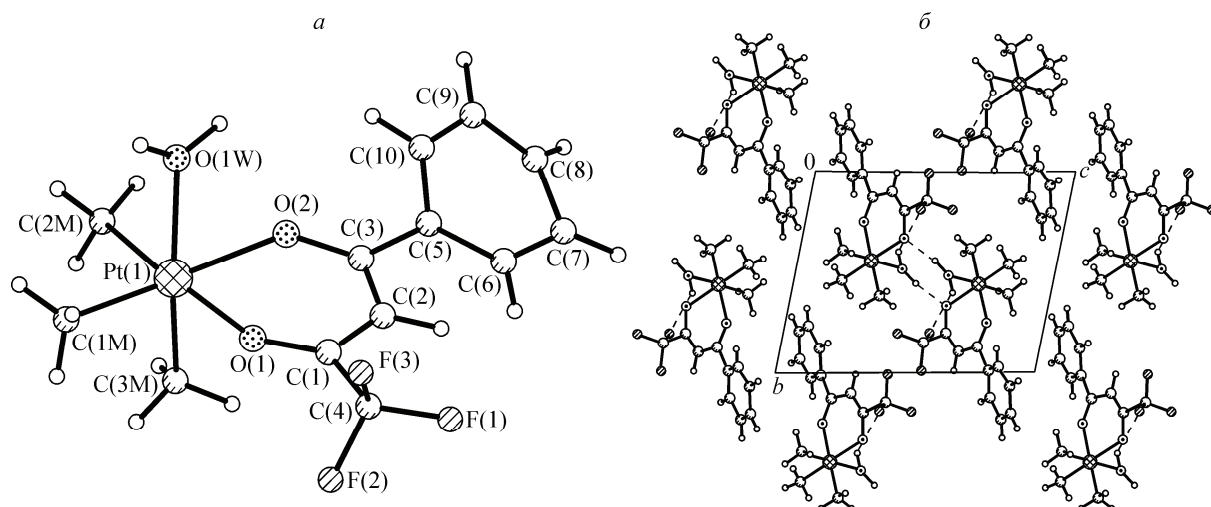


Рис. 2. Строение комплекса  $(\text{CH}_3)_3\text{Pt}(\text{btfa})\text{H}_2\text{O}$  (а) и упаковка его молекул в направлении оси  $X$  (б)

со стороны разных заместителей составляет  $\sim 0,05 \text{ \AA}$ , разброс расстояний  $\text{C}-\text{C}$  в заместителе достигает  $0,1 \text{ \AA}$ , углы перегиба хелатных металлоциклов по линии  $\text{O}\dots\text{O}$  лежат в интервале  $15,3\text{--}17,6^\circ$ . Угол между нормалями к плоскостям фенильного кольца и  $\beta$ -дикетонатного металлоцикла  $27,3^\circ$ , внутримолекулярный контакт  $\text{F}(1)\dots\text{H}(2)$   $2,29 \text{ \AA}$ .

Упаковка структурных единиц в кристалле вдоль оси  $X$  показана на рис. 2, б. Комплексы связаны между собой водородными связями, в которых участвуют молекулы координированной воды комплекса, расстояния  $\text{O}_{\text{W}}\dots\text{O}_{\text{L}}$  и  $\text{O}_{\text{W}}\dots\text{F}$ , характеризующие эти связи, составляют  $2,82$  и  $3,14 \text{ \AA}$ . В кристалле молекулы комплексов упакованы с минимальным расстоянием  $\text{Pt}\dots\text{Pt}$   $5,26 \text{ \AA}$ . Минимальная оценка межмолекулярных контактов  $\text{F}\dots\text{F}$  составляет  $3,26 \text{ \AA}$ .

Структура II также молекулярного типа, построена из нейтральных комплексов  $(\text{CH}_3)_3\text{Pt}(\text{bac})\text{Py}$ , строение которых с нумерацией атомов показано на рис. 3, а. Атом платины координирован тремя атомами углерода метильных групп, двумя атомами кислорода  $\beta$ -дикетонатного лиганда и атомом азота молекулы пиридина, координационный узел ( $\text{PtC}_3\text{O}_2\text{N}$ ) имеет форму слабо искаженного октаэдра. Отклонения валентных углов от идеальных  $90^\circ$  на центральном атоме Pt не превышает  $3,3^\circ$ . Среднее значение длин связей  $\text{Pt}-\text{CH}_3$  равно  $2,035 \text{ \AA}$ , расстояние  $\text{Pt}-\text{N}$   $2,183 \text{ \AA}$ . Расстояние  $\text{Pt}-\text{O}_{\text{cp}}$   $2,142 \text{ \AA}$ , хелатный валентный угол  $\text{O}-\text{Pt}-\text{O}$  со-

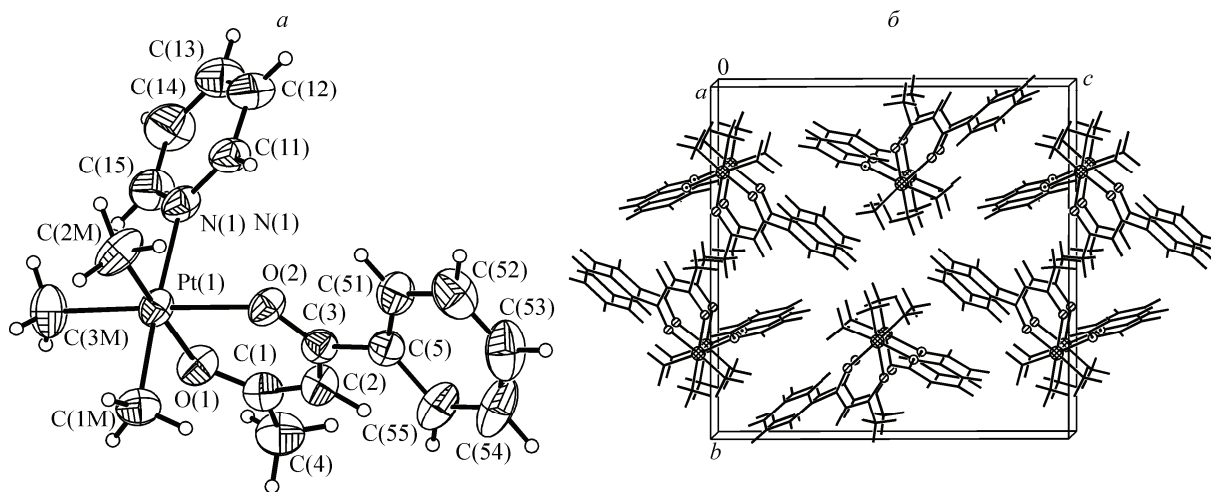


Рис. 3. Строение комплекса  $(\text{CH}_3)_3\text{Pt}(\text{bac})\text{Py}$  (а) и упаковка его молекул в направлении оси  $X$  (б)

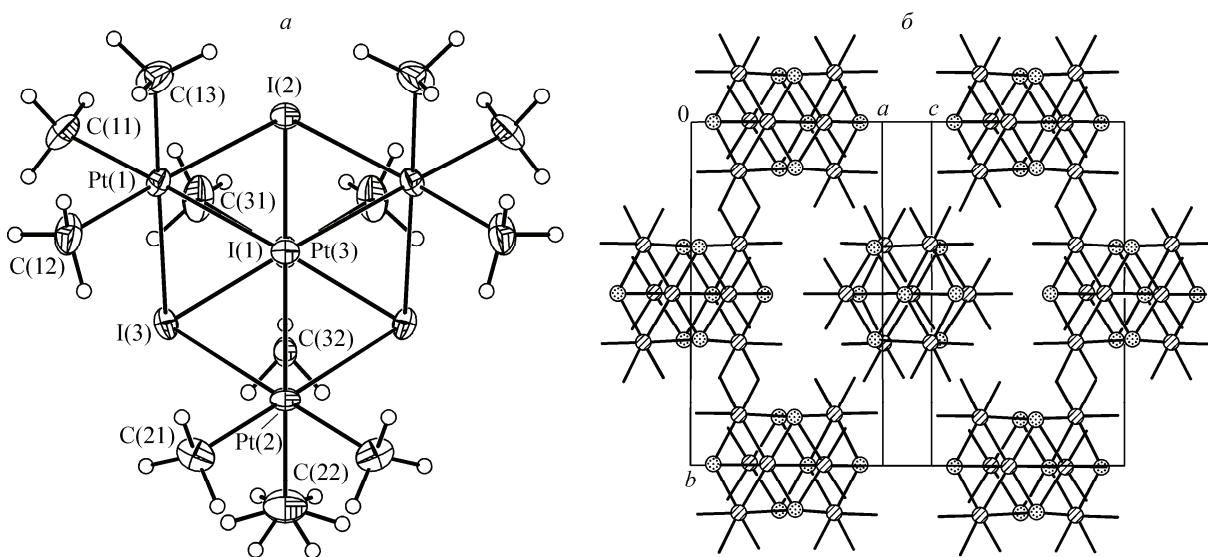


Рис. 4. Строение комплекса  $[(\text{CH}_3)_3\text{PtI}]_4$  (a); проекция кристаллической структуры в направлении [101] (б)

ставляет  $89,1^\circ$ . В  $\beta$ -дикетонатном лиганде средние значения связей  $\text{O}—\text{C}$ ,  $\text{C}—\text{C}\gamma$ ,  $\text{C}—\text{C}_{\text{Me}}$  и  $\text{C}—\text{C}$  (в Ph-кольце) составляют 1,264, 1,392, 1,510 и 1,377 Å, угол перегиба хелатного кольца по линии  $\text{O}... \text{O}$  достигает  $10,2^\circ$ . Плоскость фенильного кольца развернута относительно плоскости металлоцикла на угол  $27,2^\circ$ . Средние значения длин связей  $\text{C}—\text{N}$  и  $\text{C}—\text{C}$  в пиридиновом лиганде равны 1,330 и 1,374 Å соответственно. Угол между нормалями к плоскостям  $\beta$ -дикетонатного и пиридинового лигандов составляет  $89^\circ$ . Плоскости двух треугольных граней Pt-октаэдра  $\text{C}_3$  и  $\text{O}_2\text{N}$  практически параллельны, угол между этими плоскостями составляет  $4,2^\circ$ .

Упаковка структурных единиц вдоль оси  $X$  показана на рис. 3, б. В кристалле молекулы комплексов упакованы с минимальным расстоянием  $\text{Pt}... \text{Pt}$  6,802 Å. Все пиридиновые кольца комплексов в структуре параллельны. Минимальная оценка межмолекулярных контактов  $\text{H}... \text{H}$  составляет 2,55 Å.

Основу кристаллической структуры соединения  $[(\text{CH}_3)_3\text{PtI}]_4$  III составляют дискретные тетрамерные молекулы, расположенные на зеркальной плоскости. Строение молекулы с нумерацией атомов изображено на рис. 4, а. Атомы платины и иода образуют почти правильный куб. Отклонения валентных углов на атомах Pt от идеальных  $90^\circ$  не превышают  $4,3^\circ$ . Значения углов Pt—I—Pt лежат в интервале  $92,52—95,15^\circ$ . Один атом платины и один атом иода занимают общие кристаллографические позиции, два других расположены в частных позициях на плоскости  $t$ . В координационную сферу каждого атома Pt входит 3 атома иода и 3 атома углерода метильных групп, образуя вокруг платины искаженный октаэдр с координационным узлом  $\text{PtI}_3\text{C}_3$ , имеющим *транс*-конфигурацию. Каждый атом I выполняет мостиковую функцию между двумя атомами Pt. Длины связей Pt—I лежат в интервале 2,7836—2,8287 Å (ср. 2,8146), разброс связей Pt—C укладывается в интервал 2,057—2,107 при среднем значении 2,086 Å. Расстояния Pt...Pt и I...I внутри тетрамера имеют значение 4,082—4,130 и 3,820—3,883 Å соответственно.

Проекция кристаллической структуры на плоскость в направлении [101] приведена на рис. 4, б. В кристалле объемные тетрамерные молекулы объединены H-связями типа  $\text{C}—\text{H}... \text{I}$ , имеющими кратчайшие оценки 3,35—3,58 Å. В структуре также следует отметить межмолекулярный контакт I...I, равный 4,17 Å (рис. 5), что несколько меньше суммы ван-дер-ваальсовых радиусов иода 4,29 Å [21]. Кратчайшие расстояния Pt...Pt между молекулами  $> 6,35$  Å.

Таким образом, в настоящей работе впервые определена кристаллическая структура металлоорганического комплекса  $[(\text{CH}_3)_3\text{PtI}]_4$  и двух летучих мономерных хелатов триметилплатины(IV) на основе фенилсодержащих  $\beta$ -дикетонов с координационными узлами ( $\text{PtC}_3\text{O}_3$ )

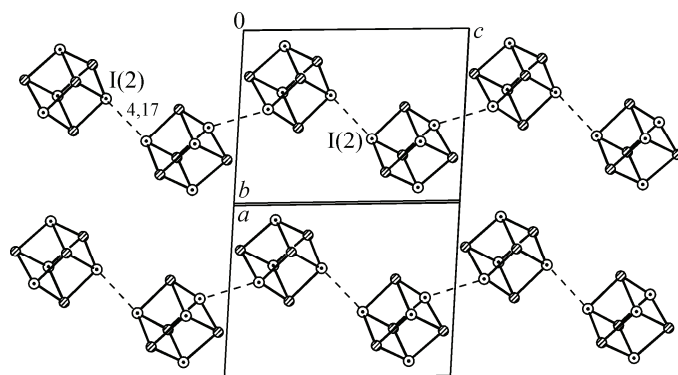


Рис. 5. Межмолекулярные контакты I...I в структуре  $[(\text{CH}_3)_3\text{PtI}]_4$

и  $(\text{PtC}_3\text{O}_2\text{N})$ . Методом ТГА проведена сравнительная оценка летучести мономерных  $\beta$ -дикетонатов триметилплатины(IV) и их димерного аналога  $[(\text{CH}_3)_3\text{Pt}(\text{bac})]_2$ . Установлено, что изученные мономерные  $\beta$ -дикетонаты триметилплатины I и II обладают значительной летучестью, в отличие от бензоилацетоната триметилплатины(IV) димерного строения, и могут быть использованы в качестве прекурсоров в процессах химического осаждения из паровой фазы для формирования платиновых пленок и покрытий различного функционального назначения.

#### СПИСОК ЛИТЕРАТУРЫ

1. Kudas T.T., Hampden-Smith M.J. The Chemistry of Metal CVD. – Weinheim: VCH, Germany, 1994.
2. Igumenov I.K. // J. Physique IV. – 1995. – **5**. – P. C5-489 – 496.
3. Garcia J.R.V., Goto T. // Mater. Transact. – 2003. – **44**. – P. 1717 – 1728.
4. Pope W.J., Peachey F.J. // J. Chem. Soc. – 1909. – **95**. – P. 571 – 576.
5. Иванова О.М., Гельман А.Д. // Журн. неорган. химии. – 1958. – **3**, № 6. – С. 1334 – 1346.
6. Baldwin J.C., Kaska W.C. // Inorg. Chem. – 1975. – **14**, N 8. – P. 2020 – 2001.
7. Rundle R.E., Sturdivant J.H. // J. Amer. Chem. Soc. – 1947. – **69**, N 7. – P. 1561 – 1565.
8. Spiro T.G., Templeton D.H., Zalkin A.A. // Inorg. Chem. – 1968. – **7**, N 10. – P. 2165 – 2170.
9. Alman R., Rucharczyk D. // Zeitschrift fur Kristallographie. – 1983. – **165**, N 1-4. – S. 227 – 232.
10. Ebert K.H., Massa W., Donath H., Lorberth J. et al. // J. Organometal. Chem. – 1998. – **559**. – P. 203 – 209.
11. Shu-Bin Zhao, Rui-Yao Wang, Suning Wang // Organometallics. – 2009. – **28**. – P. 2572 – 2582.
12. Chatterjee A.K., Menzies R.C., Steel I.R., Youdale F.N. // J. Chem. Soc. – 1958. – № 4. – P. 1706 – 1708.
13. Swallow A.G., Truter V.R. // Pros. Roy. Soc. – 1960. – **254A**. – P. 205 – 217.
14. Жаркова Г.И., Игуменов И.К., Земсков С.В. // Координат. химия. – 1979. – **5**, № 5. – С. 743 – 748.
15. Мошье Р., Сиверс Р. Газовая хроматография. – М.: Мир, 1967.
16. Жаркова Г.И., Байдина И.А., Наумов Д.Ю., Игуменов И.К. // Журн. структур. химии. – 2011. – **52**, № 3. – С. 566 – 571.
17. Zharkova G.I., Baidina I.A., Turgambaeva F.T., Romanenko G.V., Igumenov I.K. // Polyhedron. – 2012. – **40**. – P. 40 – 45.
18. Bruker AXS Inc. APEX2 (Version 1.08). SAINT (Version 7.03). SADABS (Version 2.11) and SHELXTL (Version 6.12). Bruker Advanced X-ray Solutions. Madison. Wisconsin. USA, 2004.
19. Hall J.R., Swile G.A. // J. Organometal. Chem. – 1973. – **47**. – P. 195 – 215.
20. Кросс А. Введение в практическую спектроскопию. – М.: ИЛ, 1961.
21. Зефиров Ю.В., Порай-Кошиц М.А. // Журн. структур. химии. – 1986. – **27**, № 2. – С. 74 – 81.